

Моделирование пограничного слоя атмосферы при различных условиях стратификации

Л.В. Мовсесова

*Санкт-Петербургский государственный архитектурно-строительный университет,
Санкт-Петербург*

Аннотация: Цель исследования: проанализировать применяемые в пакетах вычислительной гидродинамики модели атмосферного пограничного слоя (АПС), в которых учитываются различные условия стратификации атмосферы. Гипотеза исследования состоит в том, что в этом случае граничные условия и параметры модели должны обеспечивать сохранение горизонтально однородного потока в пустой расчетной области. Приводится обзор работ, посвященных этой теме, а также пример результатов расчета, полученных по одной из моделей. Проведенное исследование показывает, что рассмотренные модели, применяемые в пакетах вычислительной гидродинамики, позволяют включать эффекты, связанные со стратификацией атмосферы, и получить горизонтально-однородные вертикальные профили характеристик АПС. Также можно обозначить вопросы, поднимаемые авторами работ в этой области, такие, как моделирование устойчиво стратифицированного пограничного слоя; моделирование случаев сильной конвекции и устойчивости.

Ключевые слова: атмосферный пограничный слой, вычислительная гидродинамика, CFD-моделирование, вертикальное распределение метеорологических элементов, граничные условия, стратификация атмосферы, k - ϵ модель.

Методы вычислительной гидродинамики (computational fluid dynamics – CFD) широко используются в различных областях, например, для решения прикладных задач отопления, вентиляции и кондиционирования воздуха [1–2]. В задачах экологии CFD-моделирование применяется при оценке воздействия на атмосферу выбросов загрязняющих веществ, поскольку позволяет учитывать в модели влияние сложной орOGRAPHии местности и наличие препятствий.

Одна из задач, возникающая при моделировании атмосферного пограничного слоя в CFD-пакетах, – сохранение заданных входных профилей во всей рассматриваемой области, так как при изменении их в модели установившиеся профили уже не соответствуют заданному классу устойчивости. В силу того, что характеристики турбулентности непосредственно влияют на процессы распространения примесей, расчет

с некорректными профилями приведет к неверной оценке загрязнения воздуха [3].

В данной статье приведен обзор работ, посвященных задаче моделирования АПС в пакетах вычислительной гидродинамики для условий стратификации, отличной от нейтральной. Также приводятся результаты расчетов, выполненных в ПК ANSYS Fluent по одной из моделей.

В CFD-пакетах при моделировании АПС необходимо задать входные профили, определяемые в соответствии с условиями стратификации. При нейтральной стратификации используются следующие соотношения для вертикальных профилей скорости ветра (u) в направлении горизонтальной оси, кинетической энергии турбулентности (k) и скорости диссипации энергии турбулентности (ε) во входном потоке

$$u(z) = \frac{u_*}{\kappa} \ln\left(\frac{z}{z_0}\right), \quad k = \frac{u_*^2}{\sqrt{C_\mu}}, \quad \varepsilon = \frac{u_*^3}{\kappa z},$$

где z – вертикальная координата; u_* – динамическая скорость, м/с; κ – постоянная Кармана; z_0 – параметр шероховатости, м; C_μ – константа стандартной k - ε -модели [4].

При стратификации, отличной от нейтральной, входной поток описывается на основании теории подобия Монина – Обухова как функция параметра безразмерной длины $\zeta = z/L$, где L – масштаб длины Монина – Обухова [5–7]. Входные вертикальные профили определяются устойчивостью атмосферы [8], характеризуемой масштабом длины L : $L > 0$ при устойчивой стратификации и $L < 0$ при неустойчивой стратификации.

Для скорости ветра и потенциальной температуры θ они задаются соотношениями [7]:

$$u(z) = \frac{u_*}{\kappa} \left[\ln\left(\frac{z}{z_0}\right) - \psi_m\left(\frac{z}{L}\right) \right],$$
$$\theta(z) - \theta_0 = \frac{\theta_*}{\kappa} \left[\ln\left(\frac{z}{z_0}\right) - \psi_h\left(\frac{z}{L}\right) \right],$$

где безразмерные функции ψ_m и ψ_h определяются в зависимости от стратификации атмосферы; θ_0 – потенциальная температура у поверхности,

$$\theta_* = \frac{\theta_0 u_*^2}{g \kappa L}.$$

Для условий нейтральной стратификации:

$$\psi_m \left(\frac{z}{L} \right) = \psi_h \left(\frac{z}{L} \right) = 0, \quad u(z) = \frac{u_*}{\kappa} \ln \left(\frac{z}{z_0} \right).$$

При неустойчивом состоянии атмосферы, $L < 0$:

$$\varphi_m = \left(1 - \gamma_1 \frac{z}{L} \right)^{-1/4}, \quad \psi_m = \ln \left[\frac{1}{8} (1 + \varphi_m^{-2}) (1 + \varphi_m^{-1})^2 \right] - 2 \arctg(\varphi_m^{-1}) + \frac{\pi}{2},$$
$$\varphi_h = \sigma_\theta \left(1 - \gamma_2 \frac{z}{L} \right)^{-1/2}, \quad \psi_h = (1 + \sigma_\theta) \ln \left[\frac{1}{2} (1 + \varphi_h^{-1}) \right] + (1 - \sigma_\theta) \ln \left[\frac{1}{2} (-1 + \varphi_h^{-1}) \right].$$

В случае устойчивой стратификации, $L > 0$:

$$\varphi_m = 1 + \beta \frac{z}{L}, \quad \psi_m = -\beta \frac{z}{L},$$
$$\varphi_h = \sigma_\theta + \beta \frac{z}{L}, \quad \psi_h = (1 - \sigma_\theta) \ln \left(\frac{z}{L} \right) - \beta \frac{z}{L}.$$

Константы β , γ_1 , γ_2 и турбулентное число Прандтля σ_θ – эмпирические константы, принимаемые равными, например, $\sigma_\theta = 1$, $\beta = 5$, $\gamma_1 = 16$, $\gamma_2 = 16$ [7].

Кинетическая энергии и диссипация турбулентности выражаются через универсальные функции, как:

$$k(z) = \frac{u_*^2}{\sqrt{C_\mu}} \left(\frac{\varphi_\varepsilon}{\varphi_m} \right)^{1/2},$$
$$\varepsilon(z) = \frac{u_*^3}{\kappa z} \varphi_\varepsilon \left(\frac{z}{L} \right),$$

φ_ε определяется в зависимости от стратификации:

$$\varphi_\varepsilon = \begin{cases} 1 - \frac{z}{L}, & L < 0 \\ \varphi_m - \frac{z}{L}, & L > 0 \end{cases}.$$

Аналогичные функции с некоторыми отличиями используются в работе [5].

Далее рассмотрим задачу моделирования АПС с помощью стандартной k - ε модели. В случае стратификации, отличной от нейтральной, необходимо включить в уравнения стандартной k - ε модели для переноса кинетической энергии турбулентности k и скорости её диссипации ε слагаемые, описывающие генерацию турбулентной энергии за счет действия сил плавучести. Таким образом обеспечивается сохранение вертикальных профилей характеристик турбулентности во всей расчетной области.

$$\frac{\partial \rho k}{\partial t} + \frac{\partial \rho k u_i}{\partial x_i} = \frac{\partial}{\partial x_i} \left[\left(\mu + \frac{\mu_t}{\sigma_k} \right) \frac{\partial k}{\partial x_j} \right] + G_k + G_b - \rho \varepsilon + S_k, \quad (1)$$

$$\frac{\partial \rho \varepsilon}{\partial t} + \frac{\partial \rho \varepsilon u_i}{\partial x_i} = \frac{\partial}{\partial x_i} \left[\left(\mu + \frac{\mu_t}{\sigma_\varepsilon} \right) \frac{\partial \varepsilon}{\partial x_j} \right] + C_{\varepsilon 1} \frac{\varepsilon}{k} (G_k + C_{\varepsilon 3} G_b) - C_{\varepsilon 2} \rho \frac{\varepsilon^2}{k} + S_\varepsilon, \quad (2)$$

где σ_k и σ_ε – турбулентные числа Прандтля для k и ε , S_k и S_ε – источниковые члены, $C_{\varepsilon 1}$, $C_{\varepsilon 2}$, $C_{\varepsilon 3}$ – константы модели, ρ – плотность воздуха; G_k – слагаемое, описывающее перенос энергии от осредненного потока под действием турбулентных напряжений сдвига, G_b – генерация (подавление) турбулентности за счет сил плавучести. Наибольшей неопределённостью обладает выбор константы $C_{\varepsilon 3}$ [9], характеризующей степень воздействия плавучести G_b . Этот параметр задается постоянным с разными значениями для устойчивой и неустойчивой стратификации [10] или вычисляется в зависимости от стратификации по заданным соотношениям [6–7, 11]. Рассмотрим некоторые варианты определения констант и модификации стандартной k - ε модели, предлагаемые при моделировании в CFD-пакетах.

В работе [6] значение константы $C_{\varepsilon 3}$ задается полиномом пятой степени:

$$C_{\varepsilon 3} \left(\frac{z}{L} \right) = \sum_{n=0}^5 a_n \left(\frac{z}{L} \right)^n, \quad -2,3 < \frac{z}{L} < 2,0,$$

константы a_n в модели определяются в зависимости от стратификации. Такое соотношение справедливо при $-2,3 < z/L < 2$.

В модели, предложенной в [7], добавляется еще одно слагаемое источника S_{kMO} в уравнение для кинетической энергии турбулентности:

$$S_{kMO} = \frac{u_*^3}{\kappa L} \begin{cases} \left(\frac{L}{z}\right) (\varphi_m - \varphi_\varepsilon) - \frac{\varphi_h}{\sigma_\theta \varphi_m} - \frac{C_{kD}}{4} \varphi_m^{13/2} \varphi_\varepsilon^{-3/2} f_{un} \left(\frac{z}{L}, \gamma_1\right), & L < 0, \\ 1 - \frac{\varphi_h}{\sigma_\theta \varphi_m} - \frac{C_{kD}}{4} \varphi_m^{-7/2} \varphi_\varepsilon^{-3/2} f_{st} \left(\frac{z}{L}, \beta\right), & L > 0, \end{cases} \quad (3)$$

где:

$$C_{kD} = \frac{\kappa^2}{\sigma_k \sqrt{C_\mu}},$$
$$f_{un} \left(\frac{z}{L}\right) = \left(2 - \frac{z}{L}\right) + \frac{\gamma_1}{2} \left(1 - 12 \frac{z}{L} + 7 \left(\frac{z}{L}\right)^2\right) - \frac{\gamma_1^2}{16} \frac{z}{L} \left(3 - 54 \frac{z}{L} + 35 \left(\frac{z}{L}\right)^2\right),$$
$$f_{st} \left(\frac{z}{L}\right) = \left(2 - \frac{z}{L}\right) - 2\beta \frac{z}{L} \left(1 - 2 \frac{z}{L} + 2\beta \frac{z}{L}\right).$$

В этой модели константа $C_{\varepsilon 3}$ задается соотношением:

$$C_{\varepsilon 3} = \frac{\sigma_\theta L}{z} \frac{\varphi_m}{\varphi_h} \left(C_{\varepsilon 1} \varphi_m - C_{\varepsilon 2} \varphi_\varepsilon + (C_{\varepsilon 2} - C_{\varepsilon 1}) \varphi_\varepsilon^{-1/2} f_\varepsilon \left(\frac{z}{L}\right) \right), \quad (4)$$

$$f_\varepsilon \left(\frac{z}{L}\right) = \begin{cases} \varphi_m^{5/2} \left(1 - \frac{3}{4} \gamma_1 \frac{z}{L}\right), & L < 0, \\ \varphi_m^{-5/2} (2\varphi_m - 1), & L > 0. \end{cases}$$

В отличие от работы [6] выражения (3) –(4) для S_k и $C_{\varepsilon 3}$ определяются для любых значений z/L .

При вычислении плавучести используется соотношение:

$$G_{bMO} = -\frac{g v_t}{\theta_0 \sigma_\theta} \frac{\partial \theta}{\partial z} = -v_t \left(\frac{\partial U}{\partial z}\right)^2 \frac{z \varphi_h}{L \sigma_\theta \varphi_m^2}, \quad v_t = C_\mu \frac{k^2}{\varepsilon}. \quad (5)$$

Авторы [12] предложили модификации функций подобия и k - ε модели. Расчеты по этой модели проводились в сопоставлении с [7] и экспериментальными данными для местности со сложной орографией. При устойчивой стратификации модель [12] показывает лучшие результаты по сравнению с обычно используемыми функциями подобия.

Сравнение рассмотренных моделей [6] и [7] при различных значениях L приводится в [11]. В работе исследовались изменения вертикальных

профилей скорости ветра и характеристик турбулентности в области до 10 000 м по горизонтальной оси x при четырех вариантах стратификации атмосферы (сильная конвекция, неустойчивая, устойчивая и сильно устойчивая). В систему уравнений АПС не включалось уравнение энергии, в этом случае при вычислениях в Fluent $G_b = 0$. Влияние плавучести учитывалось в задаваемом пользователем слагаемом источника. S_k и S_ϵ в уравнениях (1)–(2) определялись, как:

$$S_k = -\rho S_{kMO} + G_b, \quad G_b = \rho G_{bMO}, \quad (6)$$

$$S_\tau = C_{\tau 1} \frac{T}{k} C_{\tau 3} G_b.$$

Значение динамической скорости при вычислении S_k в (6) не фиксировалось, а вычислялось в соответствии с:

$$u_* = C_\mu^{1/4} k^{1/2} \left(\frac{\varphi_\tau}{\varphi_m} \right)^{-1/4}.$$

Входящая в (5) производная вычислялась по горизонтальным компонентам скорости:

$$\frac{\partial U}{\partial z} = \sqrt{\left(\frac{\partial u}{\partial z} \right)^2 + \left(\frac{\partial v}{\partial z} \right)^2}.$$

Проведенный анализ, в том числе для случаев сильной конвекции и устойчивости, показал, что обе модели показывают хорошее согласование со входными профилями на расстоянии до 5000 м. Но ошибка в модели [7] меньше, поскольку она применима при любых значениях z/L . В условиях поверхности со сложной орографией ошибка моделей составила менее 10 %.

В качестве примера расчета по модели [7] на рис. 1 показаны вертикальные профили скорости ветра, кинетической энергии и диссипации турбулентности, выполненные в ПК Ansys Fluent для двумерной расчетной области высотой 820 м и протяженностью 10 100 м, при $L = 200$ и $L = -200$.

Значение параметра шероховатости $z_0 = 0,03$ м. Параметры и константы модели задавались аналогично [11] для случая пустой расчетной области.

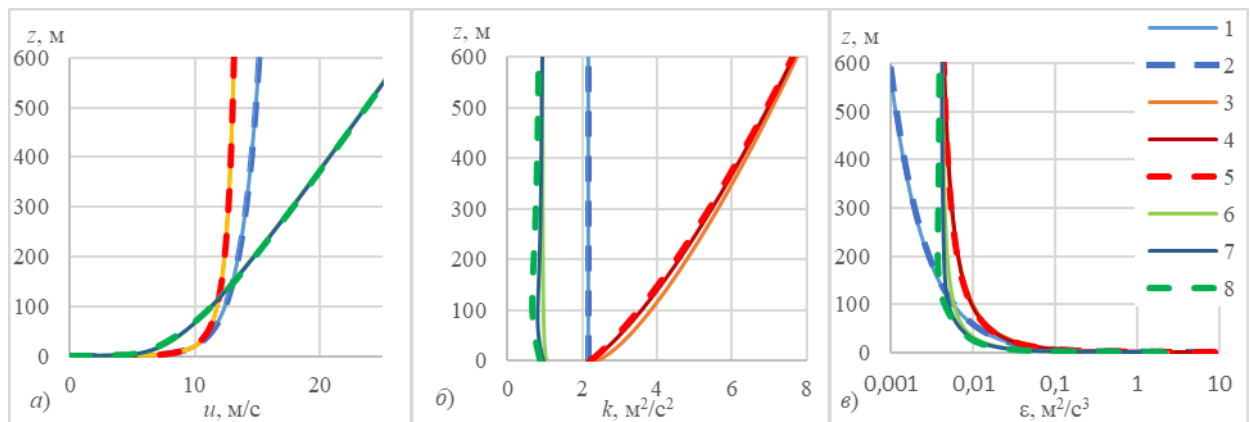


Рис. 1. – Вертикальные профили скорости ветра (а), кинетической энергии (б) и скорости диссипации энергии турбулентности (в) при нейтральной (1 – $x = 0$ м, 2 – $x = 10\ 000$ м), неустойчивой (3 – $x = 0$ м, 4 – $x = 5\ 000$ м, 5 – $x = 10\ 000$ м) и устойчивой (6 – $x = 0$ м, 7 – $x = 5\ 000$ м, 8 – $x = 10\ 000$ м) стратификации

В работе [13] константа в слагаемом, учитывающем вклад сдвиговой турбулентности (G_k) в уравнении для диссипации энергии турбулентности (2), определялась, как:

$$C_{\varepsilon 1}^* = \left(C_{\varepsilon 1} + (C_{\varepsilon 2} - C_{\varepsilon 1}) \frac{l}{l_e} \right)$$

$$l = \frac{C_{\mu}^{3/4} k^{3/2}}{\varepsilon},$$

$$l_e = \begin{cases} l_0 & = 0.00027 \frac{G}{f_c} \text{ для нейтрального АПС,} \\ l_{MY} & = \alpha \frac{\int_0^{\infty} z \sqrt{k} dz}{\int_0^{\infty} \sqrt{k} dz}, \end{cases}$$

где l – масштаб турбулентности, G – скорость геострофического ветра, f_c – параметр Кориолиса, α – константа, l_{MY} отражает зависящую от стратификации высоту АПС.

При таком определении $C_{\varepsilon 1}^*$ будет равна $C_{\varepsilon 2}$, когда l достигает максимального значения l_e , и равна $C_{\varepsilon 1}$, когда $l \ll l_e$.

Константа в слагаемом, учитывающем вклад плавучести (при $G_b \varepsilon / k$), вычислялась как $(C_{\varepsilon 1} - C_{\varepsilon 2})\alpha_B + 1$,

$$\alpha_B = \begin{cases} \left(1 - \frac{l}{l_{MY}}\right), & Ri_g \geq 0; \\ 1 - \left(1 + \frac{C_{\varepsilon 2} - 1}{C_{\varepsilon 2} - C_{\varepsilon 1}}\right) \frac{l}{l_{MY}}, & Ri_g < 0, \end{cases}$$

где Ri_g – градиентное число Ричардсона.

В уравнение (2) вводилось также слагаемое источника: S_ε задавалось таким образом, чтобы получить лучшее согласование между k - ε и k - ω моделями турбулентности.

Проведенный в [13] анализ результатов расчетов по модели в сравнении с данными экспериментов продемонстрировал её применимость к решению задач в условиях местности со сложной орографией.

Выводы

При моделировании АПС в программных комплексах вычислительной гидродинамики возникает задача корректного задания входных данных и параметров модели для получения горизонтально однородного потока во всей расчетной области при различных условиях стратификации.

Рассмотренные в обзоре модели, применяемые в пакетах вычислительной гидродинамики, позволяют включать эффекты, связанные со стратификацией атмосферы, и получить горизонтально-однородные вертикальные профили характеристик АПС. Особое внимание авторы работ в этой области уделяют моделированию устойчиво стратифицированного пограничного слоя; а также случаев сильной конвекции и устойчивости.

Литература

1. Саламатин И.А., Логойда Т.И., Скорик Т.А., Пирожникова А.П. Математическое моделирование теплового режима помещений // Инженерный вестник Дона, 2022, №1. URL: ivdon.ru/ru/magazine/archive/n1y2022/7381.
 2. Денисихина Д.М., Иванова Ю.В., Мокров В.В. Численное моделирование истечения из современных воздухораспределительных устройств // Инженерный вестник Дона, 2018, №2. URL: ivdon.ru/ru/magazine/archive/n2y2018/4972.
 3. Мовсесова Л.В. Моделирование пограничного слоя атмосферы в программных комплексах вычислительной гидродинамики // Перспективы науки, 2024. № 2 (173). С. 67-72.
 4. Blocken B., Stathopoulos T., Carmeliet J. CFD simulation of the atmospheric boundary layer: wall function problems // Atmospheric Environment, 2007. Vol. 41. № 2. P. 238–252. DOI: 10.1016/j.atmosenv.2006.08.019.
 5. Купцов А.И., Акберов Р.Р., Исламхузин Д.Я., Гимранов Ф.М. Численное моделирование пограничного слоя атмосферы с учетом ее стратификации // Фундаментальные исследования, 2014. № 9-7. С. 1452-1460.
 6. Alinot C., Masson C. k - ϵ model for the atmospheric boundary layer under various thermal stratifications // J. Solar Energy Engineering, 2005. Vol. 127. P. 438–443. DOI: 10.1115/1.2035704.
 7. Laan M.P. van der, Kelly M.C., Sorensen N.N. A new k -epsilon model consistent with Monin – Obukhov similarity theory // Wind Energy, 2017. Vol. 20 (3). P. 379–565. DOI:10.1002/we.2017.
 8. Sathe A., Mann J., Barlas T., Bierbooms W.A.A.M., Van Bussel G.J.W. Influence of atmospheric stability on wind turbine loads // Wind Energy, 2013. Vol. 16 (7). pp. 977–1129. DOI: 10.1002/we.1528.
-

9. Мортиков Е.В., Глазунов А.В., Дебольский А.В., Лыкосов В.Н., Зилитинкевич С.С. О моделировании скорости диссипации кинетической энергии турбулентности // Доклады Академии наук, 2019. Т. 489. № 4. С. 414-418. DOI: 10.31857/S0869-56524894414-418.

10. Pieterse J.E., Harms T.M. CFD investigation of the atmospheric boundary layer under different thermal stability conditions // J. Wind Eng. Ind. Aerodyn., 2013. № 121. pp. 82–97. DOI: 10.1016/j.jweia.2013.07.014.

11. Breedt H., Craig K., Jothiprakasham V. Monin-Obukhov similarity theory and its application to wind flow modelling over complex terrain // J. Wind Eng. Ind. Aerodyn., 2018. № 182. pp. 308–321. DOI: 10.1016/j.jweia.2018.09.026.

12. Han X., Liu D., Xu C., Shen W.Z. Similarity functions and a new $k-\varepsilon$ closure for predicting stratified atmospheric surface layer flows in complex terrain // Renewable Energy, 2020. Vol. 150. pp. 907–917. DOI: 10.1016/j.renene.2020.01.022.

13. Koblitz T., Bechmann A. Sogachev A., Sørensen N., and Réthoré P. E. Computational Fluid Dynamics model of stratified atmospheric boundary-layer flow // Wind Energy, 2015. Vol. 18. pp. 75–89. DOI: 10.1002/we.1684.

References

1. Salamatin I. A., Logojda T.I., Skorik T.A. Inzhenernyj vestnik Dona, 2022, №1. URL: ivdon.ru/ru/magazine/archive/n1y2022/7381.

2. Denisikhina D.M., Ivanova Y.V., Mokrov V.V. Inzhenernyj vestnik Dona, 2018, №2. URL: ivdon.ru/ru/magazine/archive/n2y2018/4972.

3. Movsesova L.V. Perspektivy nauki, 2024. № 2 (173). pp. 67-72.

4. Blocken B., Stathopoulos T., Carmeliet J. Atmospheric Environment, 2007. Vol. 41. № 2. P. 238–252. DOI: 10.1016/j.atmosenv.2006.08.019.

5. Kupcov A.I. Akberov R.R., Islamhuzin D.YA., Gimranov F.M. Fundamental'nye issledovaniya, 2014. № 9-7. pp. 1452-1460.



6. Alinot C., Masson C. J. Solar Energy Engineering, 2005. Vol. 127. pp. 438–443. DOI: 10.1115/1.2035704.
7. Laan M.P. van der, Kelly M.C., Sorensen N.N. Wind Energy, 2017. Vol. 20 (3). pp. 379–565. DOI:10.1002/we.2017.
8. Sathe A., Mann J., Barlas T., Bierbooms W.A.A.M., Van Bussel G.J.W. Wind Energy, 2013. Vol. 16 (7). pp. 977–1129. DOI: 10.1002/we.1528.
9. Mortikov E.V., Glazunov A.V., Debol'skij A.V., Lykosov V.N., Zilitinkevich S.S. Doklady Akademii nauk, 2019. Vol. 489. № 4. pp. 414-418. DOI: 10.31857/S0869-56524894414-418.
10. Pieterse J.E., Harms T.M. J. Wind Eng. Ind. Aerodyn., 2013. № 121. pp. 82–97. DOI: 10.1016/j.jweia.2013.07.014.
11. Breedts H., Craig K., Jothiprakasham V.J. Wind Eng. Ind. Aerodyn, 2018. № 182. pp. 308–321. DOI: 10.1016/j.jweia.2018.09.026.
12. Han X., Liu D., Xu C., Shen W.Z. Renewable Energy, 2020. Vol. 150. pp. 907–917. DOI: 10.1016/j.renene.2020. 01.022.
13. Koblitz T., Bechmann A. Sogachev A., Sørensen N., and Réthoré P. E. Wind Energy, 2015. Vol. 18. pp. 75–89. DOI: 10.1002/we.1684.

Дата поступления: 17.04.2024

Дата публикации: 30.05.2024